

Compression en diamants de maillages tétraédriques

Gabriel Beauplet, Luca Castelli Aleardi

Stage MPRI

4 août 2019

1 Abstract

2 Introduction

Un maillage représente un domaine géométrique en le discretisant en formes simples. Les maillages permettent de représenter des objets géométriques en 1, 2 ou 3D à des fins scientifiques ou industrielles par exemple. En 2D, les maillages représentent des surfaces et sont constitués de polygones (triangles, carrés...) reliés deux à deux par une arête. En 3D, les maillages représentent des volumes à l'aide de polyèdres (tétraèdres, pyramides...) partageant une face commune. Les maillages sont très utilisés pour la visualisation de volume, calculs de solutions pour des équations aux dérivées partielles... Cependant, les maillages sont des structures complexes qui peuvent devenir très volumineuses et dont on essaye de réduire la taille.

La compression de données est omniprésente en informatique, avec des formats compressés génériques comme *gzip* mais aussi dédiés comme *mp3* pour les fichiers audios. Ce besoin de compresser les données est grandissant car de plus en plus de fichiers sont stockés à distance sur des serveurs et la moindre économie de stockage a d'importantes répercussions. Néanmoins, sous certains formats compressés, les données originales deviennent inutilisables (ex : *rar*). Cela pose problème quand l'on souhaite accéder aux données sans passer par l'étape de décompression.

Une structure de données est une manière d'organiser les données pour faciliter leur traitement. Les listes, arbres et graphes sont des exemples de structures de données. Leur but n'est pas de limiter l'usage mémoire mais seulement de faciliter l'utilisation des données. Ainsi, pour certains formats volumineux, des structures de données compactes ont été inventées. Ce sont des structures de données compressées, des structures de données dont l'utilisation de la mémoire est limitée.

Si l'on revient aux maillages, les algorithmes de compression limitent au maximum l'usage mémoire du maillage et il devient inutilisable sous forme compressé tandis que la structure de données pré-traite le maillage en réduisant l'usage mémoire mais celui-ci reste utilisable. Les maillages en deux dimensions sont majoritairement utilisés car ils sont plus légers, et permettent de représenter implicitement des volumes (la frontière). Par conséquent, de nombreuses structures de données compactes ont été créées afin de faciliter leur utilisation. Les maillages 3D étant beaucoup moins utilisés pour l'instant, peu de structures de données compactes leur sont dévolues. Néanmoins, leur utilisation croissante incite à procéder de même. La suite de ce rapport sera principalement consacrée aux structures de données compactes pour maillages 3D tétraédriques.

De manière générale, une structure de données pour maillage stocke trois types d'informations :

- La géométrie, c'est à dire les positions des sommets
- La connectivité, les relations d'adjacence entre les tétraèdres
- Des attributs (par sommet, par arête, par face, par tétraèdre)

La structure de données doit supporter des requêtes simples :

- Quels sont les sommets de la i ème face ?
- Quel est le degré du i ème sommet ?
- Quelles sont les tétraèdres adjacents au i ème tétraèdre ?
- ...

Par ailleurs, suivant l'utilisation ciblée, la structure de données devra être en mesure de satisfaire des opérations de modification :

- Ajouter/Enlever un sommet
- Ajouter/Enlever/Séparer un tetra

On évalue une telle structure de données en analysant le temps nécessaire à sa construction, à l'exécution d'une requête, à une opération de modification et surtout en observant la quantité de stockage nécessaire pour l'utiliser.

Contributions. Dans ce rapport, nous présentons une structure de données permettant de représenter la connectivité d'un maillage tetrahedrique en utilisant en moyenne 2.4 références par tétraèdre. Notre structure s'appelle *Tétraèdres en diamant*. Elle permet par ailleurs l'accès au i ème sommet, au i ème tétraèdre et à l'étoile d'un sommet en temps constant. Son implémentation est simple et l'utilisation d'un tableau d'entiers afin de représenter les références permet une interopérabilité entre les langages de programmation.

Nous allons d'abord définir les principaux termes utilisés et rappeler les algorithmes de compression et structures de données déjà développés en deux et trois dimensions. Puis nous présenterons le fonctionnement, les avantages et inconvénients de notre structure de données. Par ailleurs, nous comparerons notre structure de données avec d'autres structures en terme de stockage mémoire ou de coût de calcul.

2.1 Définitions

Simplexe. Un simplexe σ^p de dimension p est l'enveloppe convexe de $p + 1$ points $\{v_0, v_1, \dots, v_p\}$, où $v_i \in \mathbb{R}^n$ et les vecteurs $v_1 - v_0, v_2 - v_0, \dots$ sont linéairement indépendants. Les simplexes de dimensions 0, 1, 2 et 3 sont respectivement les sommets, arêtes, triangles et tétraèdres.

Complexe simplicial. Un complexe simplicial est un ensemble K de simplexes d'un espace affine tel que toutes les faces de chaque simplexe de K appartiennent aussi à K et si deux simplexes σ et τ de K sont adjacents alors $\sigma \cap \tau \neq \emptyset$.

Variété. Une variété topologique (manifold en anglais) M de dimension n est un espace topologique connexe séparé localement homéomorphe à un ouvert de \mathbb{R}^n . C'est à dire que chaque point de M admet un voisinage homéomorphe à un ouvert de \mathbb{R}^n .

Variété à bord. Une variété à bord est un sous-espace topologique dont les points admettent un voisinage homéomorphe à \mathbb{R}^n (les points intérieurs) ou un voisinage homéomorphe à $\mathbb{R}^{n-1} \times \mathbb{R}^+$ (les points bordants). L'ensemble des points bordants constitue le bord de la variété.

Frontière. Les $(k-1)$ -simplexes d'une k -variété M qui sont incidents à seulement un k -simplexe sont les simplexes frontières. L'ensemble des simplexes frontières est dénoté ∂M .

Maillage. Un maillage est un complexe simplicial représentant un objet géométrique. Il a la même dimension que l'objet qu'il représente. Ainsi, pour tout objet en 1, 2 ou 3D, les maillages respectifs seront en dimensions 1, 2 ou 3. Dans un maillage de dimension d , les simplexes de dimensions $(d-1)$ sont appelées des facettes. Ainsi, les facettes d'un tétraèdre sont ses faces, les facettes d'une face sont ses arêtes et les facettes d'une arête sont ses sommets.

Le degré. Le degré d'un k -simplexe est le nombre de $(k+1)$ -simplexes adjacents. Ainsi le degré d'un sommet est le nombre d'arêtes adjacentes et le degré d'une arête est le nombre de faces adjacentes.

Etoile. L'étoile d'un sommet est l'ensemble des k -simplexes adjacents à un sommet. C'est l'ensemble des triangles (resp. tétraèdres) adjacents à un sommet dans le cas surfacique (resp. volumique).

2.2 Combinatoire

En mathématique et en optimisation combinatoire, la caractéristique d'Euler χ est un invariant topologique décrivant la forme d'un objet géométrique.

$$\chi = \sum_{i=0} (-1)^i |dim(H_i)| = 2 - 2g \quad (1)$$

- H_i est l'ensemble des faces de dimension i
- g est le genre (le nombre de trou de l'objet étudié)

Ainsi, pour un polytope de dimension 4, la formule d'Euler devient :

$$\chi = |V| - |E| + |F| - |T| \quad (2)$$

- V est l'ensemble des sommets
- E est l'ensemble des arêtes
- F est l'ensemble des faces (ie. polygone)
- T est l'ensemble des tétraèdres

Sachant que chaque face qui n'est pas sur les bords du volume est partagée par deux tétraèdres, alors :

$$|F| \simeq 2|T| \quad (3)$$

Ainsi :

$$\chi \simeq |V| - |E| + |T| \quad (4)$$

Il y a donc autant d'arêtes que de tétraèdres et sommets réunis.

3 Etat de l'art

Les maillages sont la plupart du temps stockés sous forme indexés. Dans un premiers temps, on énumère pour chaque sommet ses coordonnées géométriques. Puis pour chaque face (resp. tétraèdre), les indices de ses 3 (resp. 4) sommets. D'autres attributs peuvent être stockés (normales, couleurs...) mais nous n'en discuterons pas ici. Les formats indexés ne sont pas les formats les plus concis pour sauvegarder des maillages. En effet, la connectivité occupe une place très importante. Tandis que dans les maillages 2D, le degré moyen des sommets est de 6, il est de 22 dans les maillages tétraédriques. Par conséquent, dans ce type de format, un sommet apparaîtra dans 22 tetras différents.

La mesure utilisée pour évaluer la qualité d'une compression est le nombre de bits par sommets (bits per vertex ou bpv). Tandis que la mesure utilisée pour évaluer la qualité d'une structure de données compacte est le nombre de références par triangle (resp. tétraèdre) rpt pour les maillages surfaciques (resp. volumiques).

On peut compresser un maillage en le simplifiant (supprimer des sommets...), en encodant la géométrie et/ou la connectivité du maillage. Nous ne nous intéresserons dans cette partie qu'à la compression de la connectivité puisque c'est la plus gourmande en mémoire. Par ailleurs, nous détaillerons d'abord le travail effectué en 2D puis en 3D. Bien que notre travail soit uniquement centré sur les maillages 3D, l'essentiel des travaux effectués jusqu'à présent est en 2D.

3.1 Maillages 2D

3.1.1 Compression

Bande de triangle. Les bandes de triangles ("triangle strips") et les éventails de triangles ("triangle fans") sont des représentations utilisées pour transférer les maillages de la mémoire centrale du PC vers la mémoire du GPU. Une bande de triangle est une séquence de sommet où chaque nouveau sommet définit un triangle avec les deux précédents sommets. En ce qui concerne les bandes de triangles, le but est de trouver de très longues bandes. Si la bande de triangles est suffisamment longue alors, cette représentation permet de passer de $3N$ références aux sommets à $N+2$. L'algorithme de Deering utilise ces bandes de triangles et utilise entre 3.3 et 9.8 bpv [1].

Traversée de triangles. La Cut border Machine [2] est un algorithme de Gumhold qui encode la connectivité en parcourant le graphe en largeur. L'algorithme étend la frontière défini par un triangle initial en traversant itérativement des triangles adjacents. Sept symboles sont utilisés pour préciser si la frontière a été étendu en insérant un nouveau sommets, si la frontière a été séparée ou si deux frontière se sont jointes. Le schéma peut compresser des variétés avec 4 bpv. En revanche, ce résultat est seulement valide pour des maillages réguliers. En effet, quand une jointure est effectuée, un décallage doit être fait pour désigner les sommets concernés. Par conséquent, il n'y a pas de borne supérieure garantie pour la compression avec cet algorithme.

L'algorithme EdgeBreaker de Rossignac [4] traverse lui aussi le graphe d'un triangle adjacent à un autre et enregistre la connectivité d'un maillage en produisant les symboles C,L,R,E,S. Cependant, il garantit un cout de 4bpv.

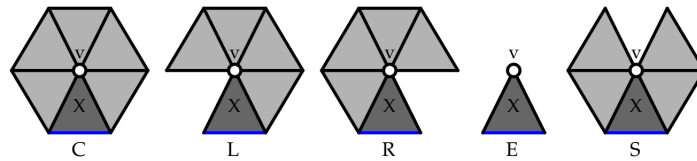


FIGURE 1 – Les cinq configurations dans l'algorithme Edgebreaker. v est le sommet central de la configuration et X est le triangle cible

Codage de la Valence. Une manière de décrire la connectivités de sommets est à travers leurs valence. Le premier travail sur la valence des sommets est le travail de Touma et Gotsman [6]. Le principe est de considérer la frontière d'un triangle initial et de l'étendre en ajoutant itérativement de nouveaux sommets. La connectivité est encodée en utilisant la valence des nouveaux sommets (concentrée autour de 6). Ainsi, La liste de valence des sommets peut être efficacement compressée par un encodeur d'entropie (2.3 bpv). C'est toujours aujourd'hui l'une des méthodes les plus efficace.

3.1.2 Structure de données compacte

Plusieurs structures de données permettent une utilisation très facile des maillages et se focalisent sur l'utilisation des arêtes du graphe. C'est le cas d'Half-Edge, Winged-Edge et Quad-Edge qui stockent $19n$ références (soit 9.5 rpt). Elles permettent facilement de naviguer dans le maillage et opèrent des requêtes d'adjacence en temps constant. Cependant, elles occupent trop de place pour être considérées comme compactes.

La Corner Table (CT) est à la base de plusieurs structures de données. Elle utilise deux listes V et O de $3|F|$ entiers chacune. La table V stocke les incidence triangle/sommet tel que les 3 sommets bordant un triangle t sont consécutifs ($V[3t], V[3t+1], V[3t+2]$) et sont listés dans un ordre consistant avec le maillage. Ainsi, $V[c]$ représente un coin c associé avec une face f et un sommet. La table O stocke la référence entière du coin opposé. Le coin opposé $o(c)$ au coin c est un coin dans un triangle adjacent qui partage la même arête opposée.

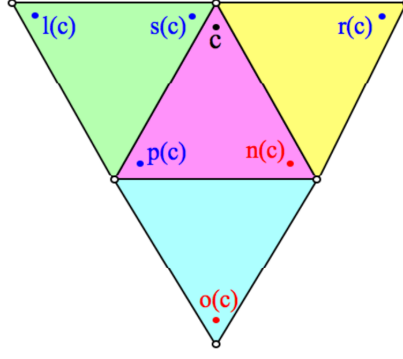


FIGURE 2 – Les opérateurs utilisant les coins pour un maillage triangulaire

VOT. La structure de données VOT (Vertex Opposite Table) est la première structure de données à utiliser cette "Corner Table". Elle permet une représentation simple et efficace des maillages avec 6 références par triangle (3 références pour les sommets dans la table V et 3 référence pour les coins dans la table O).

SOT. SOT, développée par Rossignac [9] est une amélioration de VOT où la table O est réordonnée et la table V supprimée. Néanmoins, l'accès au coin d'un sommet et à l'étoile d'un sommet sont toujours en temps constant. Cette dernière structure de données utilise 3 rpt en moyenne.

Structure de données	Taille mémoire	Temps de navigation	Accès au sommet	Dynamique
Basées sur les arêtes (Half-edge, Quad-edge, Winged-edge)	$18n+n$	$O(1)$	$O(1)$	oui
Basées sur les triangles Corner table	$13n$	$O(1)$	$O(1)$	oui
2D catalog	$13n$	$O(1)$	$O(1)$	oui
Star vertices	$7.67n$	$O(1)$	$O(1)$	oui
SOT	$7n$	$O(d)$	$O(1)$	non
SQUAD	$6n$	$O(1)$	$O(d)$	non
LR	$(4 + \epsilon)n$	$O(1)$	$O(d)$	non
	$(2 + \delta)n$	$O(1)$	$O(d)$	non

3.2 Maillages 3D

3.2.1 Compression

Grow&Fold. L'algorithme Grow&Fold [7] combine les idées de l'algorithme Topological Surgery [5] de Taubin et EdgeBreaker [4] de Rossignac. Il construit un arbre couvrant de tétraèdre et un folding string. L'arbre couvrant début à une face arbitraire et grandit en ajoutant des tétraèdres aux faces externes de l'actuel arbre couvrant. Pour chaque ajout de tétraèdre, 3 bits encode si d'autres tétraèdres seront attachés aux 3 faces extérieures de ce tétraèdre. Le folding string contient pour chaque triangle externe de l'arbre couvrant un code sur 2 bits permettant de retrouver les relations d'incidences absentes de l'arbre couvrant. L'arbre couvrant contient $|T|$ tétraèdres et il y a $2|T|$ faces externes. Par conséquent, l'usage mémoire est de 7 bpt.

Cut Border Machine. La Cut Border Machine pour les maillages volumiques [2] est directement inspirée de celle pour les maillages surfaciques de Gumhold [3]. L'algorithme étend la frontière défini par une face initiale en traversant des tétraèdres adjacents. Dix symboles sont utilisés pour décrire l'entourage de la frontière lors de l'ajout d'un nouveau sommet pour la construction d'un tétraèdre. Leur algorithme permet de compresser les maillages tétraédriques en utilisant 2.4 bpt et s'adapte aux non-variétés.

3.2.2 Structure de données compacte

VOT. La Corner Table a été adapté par Rossignac aux maillages tétraédriques (VOT). Elle demande 8 rpt (4 pour les sommets et 4 pour les coins opposés). Un index dans ces listes identifie un coin particulier à un tétraèdre. Ainsi, les tables O et V ont toutes les deux $4|T|$ entrées. Les coins de chaque tétraèdre sont consécutifs dans les deux listes (les quatres coins du ième tetra sont stockées aux entrées $4i+j$, where $j = 0,1,2,3$) et sont listés dans un ordre consistant avec l'orientation du tétraèdre (les sommets des coins $j=1,2,3$ apparaissent dans le sens inverse des aiguilles d'une montre

depuis le sommet du coin 0).

Bande de Triangles. Weiler et al. [8] encode les tétraèdres en bandes. L'inclusion d'une petite quantité d'informations d'adjacence leur permet d'accéder aux faces voisines en temps constant. Leur algorithme stocke en moyenne 5.1 rpt.

SOT. La dernière structure de données développée est SOT [9] par Rossignac. Elle améliore sa première structure de données VOT en triant la table O et en supprimant la table V. La structure de données utilise 4 références et 9 bits par tétraèdre en moyenne et permet l'accès à l'étoile d'un sommet en temps constant.

4 Diamond Compression

4.1 Le principe

Dans SQUAD, les auteurs traverse le graphe en profondeur afin d'appareiller les triangles deux à deux avec l'un de leurs sommet partagé. Cela leur permet d'avoir 4 références par quad (i.e pair de triangle) et donc d'économiser une référence par triangle. Quant aux triangles non appareillés, ils sont déguisés comme des quads. D'autre part, tout comme SOT, ils utilisent l'ordre des quads tel que le i ème quad soit associé au i ème sommet. Dans un maillage 2D, il y a deux fois plus de triangles que de sommets. Par conséquent, le nombre de quads et le nombres de sommets devrait être assez proche.

Notre algorithme s'inspire fortement de SQUAD. Seulement, appareiller les tétraèdres deux à deux permet seulement d'économiser une référence par cube, c'est à dire de passer de 4 références par tétraèdre à 3.

L'idée ici est de regrouper les tetrahedres partageant une même arête. On appelle un tel regroupement un diamant. Il combine les idées de plusieurs papiers :

- Regroupement des tétraèdres comme SQUAD
- Ancrer un sommet avec un diamant
- Ordonner les diamants tel que le i ème sommet soit au sein du i ème diamant.
- Passage d'un tétraèdre à l'autre en utilisant les faces (et non les coins)

Un diamant est un ensemble de tétraèdres adjacents deux à deux, partageant une arête commune et formant un cycle.

Au sein d'un diamant, les tetrahedres sont ordonnés. Ainsi, on peut oublier les références de voisinage entre deux tetrahedres du même diamant. Par exemple, dans un diamant de 5 tétraèdres, le troisième tétraèdre est connecté aux deuxième et quatrième tétraèdre. Par conséquent, pour les tétraèdres au sein d'un diamant, seules les références vers des tétraèdres extérieurs sont nécessaires. Un diamant D contenant $|D|$ tétraèdres aura $2|D|$ références. Si tous les tétraèdres sont réunis en diamants, notre structure consommerait 2 rpt.

4.2 Appariement des tétraèdres en diamants

La première étape consiste à regrouper les tétraèdre en diamant. On peut ramener ce problème à un problème d'optimisation dans les graphes. En considérant notre maillage 3D comme un graphe, il s'agit de choisir un ensemble E' d'arêtes tel-que deux arêtes de E' n'appartiennent pas au même tétraèdre. Tous les tétraèdres n'ayant pas d'arêtes dans E' sont appelés les tétraèdres isolés.

Pour trouver cet ensemble d'arêtes, nous avons essayés plusieurs algorithmes.

4.2.1 Choisir l'arête la plus pentu pour chaque sommet

La première méthode consiste à prendre pour chaque sommet, une arête dans une direction pré-définie. Néanmoins, cette méthode a deux inconvénients majeurs : deux arêtes peuvent être choisies et

appartenir au même tétraèdre et elle utilise la géométrie du domaine (et donc peut sembler moins générique).

4.2.2 Parcours en largeur des tétraèdres

La seconde approche consiste à parcourir le maillage en largeur. On choisit un tétraèdre au début de l'algorithme puis on regarde pour chacune de ses arêtes si les tétraèdres partageant cette arête forment un diamant et qu'aucun n'appartienne déjà à un diamant. Si ces deux conditions sont remplies, on crée un nouveau diamant avec cette arête centrale. Puis on ajoute à la file les tétraèdres adjacents et non visités au tétraèdre choisi. On exécute ainsi cet algorithme tant que la file n'est pas vide.

```

Soit F une file ;
F.ajouter(t) ;
while F n'est pas vide do
    t = F.défiler() ;
    for arête e dans t do
        if e forme un diamant then
            if aucun des tétraèdres ayant e n'appartient à un diamant then
                | Créer un diamant avec e comme arête centrale ;
            end
        end
    end
    Marquer t ;
    Ajouter voisins de t non marqués à Q ;
end

```

Algorithm 1: Parcours en profondeur du maillage avec un tétraèdre de départ t

Choix du tétraèdre de départ Le choix du tétraèdre de départ n'affecte que très légèrement la qualité de l'algorithme.

Parcours en largeur ou en profondeur DFS semble donner des résultats moins bon que BFS.

Avantages et inconvénients L'algorithme de parcours en largeur du graphe présente des avantages et inconvénients. Il est très rapide car sa complexité est linéaire par rapport à la taille du graphe. De plus, son implémentation est très facile et permet à quiconque de le ré-implémenter ou de le modifier. En revanche, environ 20% des tétraèdres demeurent isolés et ceux-ci sont principalement localisés sur les bords du volume. En effet, parcourir en largeur les tétraèdres est un comportement naïf. Un algorithme ayant une vision globale du maillage et non juste locale aurait probablement de meilleures performances.

4.3 Algorithme randomisé

Notre problème s'exprime facilement comme un problème d'optimisation combinatoire en nombres entiers ainsi les algorithmes par descente de gradient ne peuvent être utilisés. Il existe en revanche une catégorie d'algorithmes permettant de maximiser une fonction en visitant aléatoirement l'espace des solutions : l'optimisation aléatoire.

Soit f la fonction aléatoire à minimiser, l'idée est de partir d'une solution initiale x et tant que la condition d'arrêt n'est pas remplie, de créer une solution y à partir de x puis de remplacer x par y si $f(y) < f(x)$.

Dans notre cas, une solution est un ensemble d'arêtes. Elle est faisable si pour deux arêtes de notre solution n'appartiennent pas au même tétraèdre. On peut donc matérialiser notre solution comme un vecteur de 0 et 1 pour chaque arête du graphe (1 si l'arête appartient à la solution, 0 sinon). Pour

calculer la valeur de notre solution, on ajoute pour chaque arête de la solution le nombre de tétraèdre utilisant l'arête et si deux arêtes appartiennent au même tétraèdre alors on soustrait le nombre de tétraèdres adjacents à des deux arêtes.

L'inconvénient majeur de cet algorithme est sa lenteur. En effet, il permet de trouver des solutions quasi optimales pour des maillages à plusieurs milliers d'arêtes en quelques secondes mais ne permet pas de trouver des solutions convenables au dela.

Par conséquent, nous avons décidé de joindre l'algorithme de parcours en largeur et l'algorithme randomisé pour allier les avantages des deux : la rapidité de BFS et la globalité d'optimisation aléatoire.

4.4 BFS+algorithme randomisé

La solution finale est donc un mélange de BFS et d'algorithme randomisé. BFS offre une solution convenable en un temps très court. Néanmoins, sa solution peut être améliorée avec un algorithme randomisé. Nous avons donc sélectionné un ensemble d'arêtes représentant les diamants. Tous les tétraèdres ne possédant pas une de ces arêtes sont dit isolés.

METTRE TABLEAU DE COMPARAISON ENTRE LES 3 MÉTHODES : BFS, RANDOMISÉ, ET BFS RANDOMISÉ

4.5 Choisir l'ancrage

Maintenant que nous avons choisi notre algorithme pour appareiller les tétraèdres en diamants, il est nécessaire d'affecter pour chaque sommet un diamant. De cette manière, on pourra accéder au i ème sommet en accédant au i ème diamant.

Si un sommet n'a aucun diamant voisin (que des tétraèdres isolés) alors, on associe le sommet à un des tétraèdres isolés. Si un sommet n'a aucun diamant de libre (i.e tous les diamants ont déjà un sommet affecté) dans son voisinage alors, on explose un diamant (on supprime le diamant, et on fait comme si il n'y avait que des tétraèdres isolés) et on affecte le sommet à un de ces tétraèdres isolés.

Un algorithme glouton affectant en priorité les sommets adjacents à peu d'arêtes permet d'ancrer correctement et rapidement les diamants aux sommets.

METTRE TABLEAU COMPARATIF DE L'APPARIEMENT SOMMET DIAMANT SUR PLUSIEURS FORMES (NOMBRE DE SOMMETS SANS ANCRE, PERFORMANCE AVANT ET APRES EXPLOSION DES DIAMANTS)

4.6 La structure

Désormais, nos diamants sont formés et les sommets sont associés à des diamants (ou des tétraèdres isolés).

Pour rappel, notre structure doit permettre de :

- Accéder au i ème tétraèdre en temps constant
- Accéder au i ème sommet en temps constant
- Naviguer facilement dans le graphe (entre les tétraèdres)
- Calculer le degré (i.e l'hypersphère) d'un sommet

La structure que nous proposons est un tableau F à une dimension dont la taille est le nombre de faces extérieures des diamants ou tétraèdres isolés. Les faces extérieures sont toutes les faces des tétraèdres isolés et les faces externes des diamants. Le tableau contient des entiers qui sont les indices des faces. Ainsi $F[i]$ indique l'indice dans le tableau de la face adjacente à la i ème face. Si la i ème face est sur le bord du volume alors $F[i]=-1$.

Un diamant contenant quatre tétraèdres occupera 8 cellules dans le tableau (car il a 8 faces extérieures) et un tétraèdre isolé en occupera 4. Les diamants sont ré-ordonnés de telle manière que le i ème sommet soit ancré au i ème diamant. Étant donné qu'il y a beaucoup plus de diamants que de sommets, seuls, les $|V|$ premiers diamants sont ré-ordonnés.

Par ailleurs, pour savoir quand on passe d'un diamant à un autre, nous utilisons des bits de service (1 ou 0) pour chaque face. Une face contient un 1 si c'est la première face d'un diamant, 0 sinon. Finalement, afin de pouvoir tourner facilement autour d'un sommet, nous utilisons 3 bits de service par face pour représenter la permutation des sommets entre ces deux faces.

Pour résumer, voici notre structure de données :

- Un tableau de tailles $|F|$ où F est l'ensemble des faces extérieures du maillage.
- Un bit de service par face afin de savoir si une face est la première d'un diamant ou d'un tétraèdre isolé
- 3 bits de service par face afin de représenter la permutation des sommets entre deux faces

METTRE IMAGE DU TABLEAU 1D DES FACES + BITS DE SERVICES

4.6.1 Calculer les permutations

Tout comme les tétraèdres, les sommets peuvent être ordonnés au sein d'un diamant. Un diamant D possédant $|D|$ tétraèdres contient $|D| + 2$ sommets. On ordonne d'abord les sommets situés entre deux faces (i.e les sommets sur "l'équateur" du diamant), puis les deux sommets communs à toutes les faces. Le premier sommet est alors le sommet adjacent au premier tétraèdre et au dernier, le second sommet est celui adjacent au premier tétraèdre et au deuxième... Pour calculer les permutations entre deux faces, il suffit alors de comparer l'ordre des sommets des deux faces.

METTRE DEUX IMAGE A COTÉ : DIAMANT/NUMEROTATION DES SOMMETS ET ORDRE DES SOMMETS
 METTRE IMAGE D'UNE PERMUTATION DES SOMMETS ENTRE 2 FACES

4.7 Les méthodes possibles

4.8 Accéder au ième diamant/tétraèdre isolé

Il suffit de parcourir le tableau F et de regarder pour chaque face si le premier bit de service vaut 1. On s'arrête alors dès que l'on a parcouru i faces dont la valeur du premier bit de service est 1. La complexité est $O(n)$. METTRE PSEUDOCODE

4.9 Parcourir les tétraèdres d'un diamant

Les faces au sein d'un diamant sont ordonnées. Les faces consécutives dans le tableau (modulo la taille du diamant) sont adjacentes dans le diamant. La complexité est $O(1)$. METTRE PSEUDOCODE

4.10 Accéder au ième tétraèdre

Lors du regroupement des tétraèdres en diamants, l'ordre des diamants n'est plus le même que l'ordre initial (à la lecture du fichier OFF). Néanmoins, on peut re-ordonner les tétraèdres dans le fichier original afin que l'ordre des tétraèdres soit les mêmes. De cette manière on peut accéder au ième tetra en $O(n)$.

4.11 Accéder au ième sommet

Bien que nous ne stockions pas les sommets de manière explicites (nous ne stockons que les faces). Nous sommes en mesure de localiser le ième sommet car il est adjacent au ième diamant. Il suffit donc d'accéder au ième diamant/tétraèdre isolé. Si c'est un diamant, alors le sommet est commun à toutes les faces paires du diamant. Si c'est un tétraèdre isolé, alors le sommet est opposé à la première face et est donc adjacent aux trois autres faces. La complexité est $O(n)$. METTRE PSEUDOCODE

4.12 Degré d'un sommet et Hypersphere d'un sommet

Calculer le degré d'un sommet est plus compliqué. On sait que le ième sommet est adjacent au ième tetra. Par conséquent, on si le ième tetra est un diamant alors toutes les faces paires de celui-ci sont adjacentes au sommet ciblé. Si le diamant est un diamant isolé, alors le sommet cible est opposé à la première face et est donc adjacent aux trois autres faces. Puis, il suffit de suivre les diamant adjacents à chacune de ces faces.

Quant à l'hypersphere d'un sommet, c'est exactement le même procédé que pour calculer le degré.

4.13 Parcours en profondeur du graphe

4.14 Evaluation de notre structure de données

4.14.1 Comment évaluer notre structure

4.15 Resultats

comparaison avec les autres structures

4.16 Borne inférieure théorique

4.17 Encoder les diamants en off

Il est possible de sauvegarder notre structure dans un format succins. Pour rappel, dans notre tableau, le i ème sommet est adjacent au j ème diamant. Il suffit pour cela de calculer l'hypersphere pour chaque sommet. De cette manière, pour chaque sommet, on assigne un ensemble de diamant adjacents à ce sommet. Il suffit alors de renverser la structure, ou pour chaque diamant on obtient les sommets adjacents (les sommets qui le compose).

En procedant de cette manière, on économise la sauvegarde de nombreux sommets. En effet, dans un diamant contenant 3 tetras, chaque tetra reference 1 fois les deux sommets situés aux poles et les sommets situés sur l'équateur sont référencés deux fois. Ainsi, il y a les sommets du diamant sont références au total 12 fois. En revanche, dans notre cas, chaque sommet n'est référencé qu'une seule fois. Ainsi on économise 2 fois plus de place.

4.18 Améliorations

Cette section vise à répertorier les améliorations possible à notre structure.

4.18.1 Références différentielles

Dans notre tableau T, chaque face est représenté par un indice sur 32 bits, qui est la taille miimale d'un entier en C++. Néanmoins, on peut represent l'adjacence par la sa distance entre les deux faces dans le tableau. Nous n'avons pas implémenté cette fonction car le gain semblait trop faible.

4.18.2 Rank and select

4.19 Bornes theoriques

4.20 Dynamicité

4.21 Defaults

Notre structure de données n'est pas exempte de defaults.

Le premier défaut est qu'il est nécessaire de lire l'intégralité des données afin de pouvoir lancer notre algorithme de compression. Si les tetras sont ordonnés pas proximité au sein du fichier original. Alors notre algorithme peut former les diamants en disposant d'un nombre limité de tetras. En revanche, si les tetras ne sont pas ordonnés, alors aucune garantie ne peut etre apporté sur le nombre de tetras nécessaires en cache pour former les diamants. C'est le défaut principal qui constitue un vrai goulot d'étranglement.

5 NP completude

Le problème : Existe-il une couverture des tetras en diamants contenant plus de k tetras ?

Apparier les tetras en diamants est l'étape clé de notre algorithme. Malheureusement, nous montrons dans cette section que ce problème est NP-Complet. En effet, notre problème consiste à choisir un ensemble d'aretes tel qu'aucune de ces arêtes n'appartiennent au même tetra. On peut alors créer un autre graphe où chaque arête du graphe initial est modélisé par un sommet. Deux sommets dans ce nouveau graphe sont connectés si et seulement si leur arete dans le graphe original appartiennent au même tetra. La création de ce nouveau graphe se fait en temps polynomiale (en fonction des arêtes).

Dans ce nouveau graphe, notre problème devient le même que le maximum independant set (MIS). A savoir que l'on recherche un ensemble maximum de sommets (donc d'aretes dans notre graphe initial) tel qu'aucun de ces sommets ne soient connectés (donc que leur aretes appartiennent au même tetra dans le graphe initial). En revanche, notre instance du MIS est une instance pondérée, où chaque sommet a un poids correspondant au nombre de tetra adjacent à l'arete dans le graphe initial.

6 Implémentation

Tout est implémenté en C++ natif, sans aucune bibliothèque extérieure. Le tout est compilé en C++17 sur une machine avec un processeur i5-5300U et 16Go de RAM.

6.1 Vitesse

7 Travail futur

7.1 Comment rendre la structure dynamique

8 Conclusion

Références

- [1] Deering, *Geometry Compression*.
- [2] Stefan Gumhold, *Improved Cut-Border Machine for Triangle Mesh Compression*.
- [3] Stefan Gumhold, Stefan Guthe, Wolfgang Straßer, *Tetrahedral Mesh Compression with the Cut-Border Machine*.
- [4] Jarek Rossignac, *Edgebreaker : Connectivity compression for triangle meshes*.
- [5] Gabriel Taubin, Jarek Rossignac, *Geometric Compression Through Topological Surgery*.
- [6] Costa Touma and Craig Gotsman, *Triangle Mesh Compression*.
- [7] Andrzej Szymczak, Jarek Rossignac, *Grow&fold : compression of tetrahedral meshes*.
- [8] Manfred Weiler, Paula N. Mallon, Martin Kraus, Thomas Ertl, *Texture-Encoded Tetrahedral Strips*.
- [9] Topraj Gurung, Jarek Rossignac, *SOT : Compact representation for tetrahedral meshes*.